

тока J . Для НМИ линейное возрастание сохраняется до более высоких значений интенсивности, а максимум J достигается при значениях I в δ/Γ раз меньше по сравнению с МИ.

Таким образом, анализ явления СИД в условиях неоднородного уширения вскрывает новые преимущества НМИ.

Из проведенного в данной работе исследования можно сделать вывод о целесообразности использования НМИ для реализации СИД.

Литература

- [1] Ф. Х. Гельмуханов, А. М. Шалагин. Письма ЖЭТФ, 29, 773, 1979.
- [2] В. Д. Анцыгин, С. Н. Атуров, Ф. Х. Гельмуханов, Г. Г. Телегин, А. М. Шалагин. Письма ЖЭТФ, 30, 262, 1979.

Поступило в Редакцию 13 мая 1980 г.

УДК 539.194+536.722

СПЕКТРОСКОПИЧЕСКОЕ ОПРЕДЕЛЕНИЕ ЭНТАЛЬПИИ МЕЖМОЛЕКУЛЯРНОЙ ВОДОРОДНОЙ СВЯЗИ КОМПЛЕКСОВ С УЧАСТИЕМ ФЕНОЛА В ПЕРВОМ ВОЗБУЖДЕННОМ ЭЛЕКТРОННОМ СОСТОЯНИИ

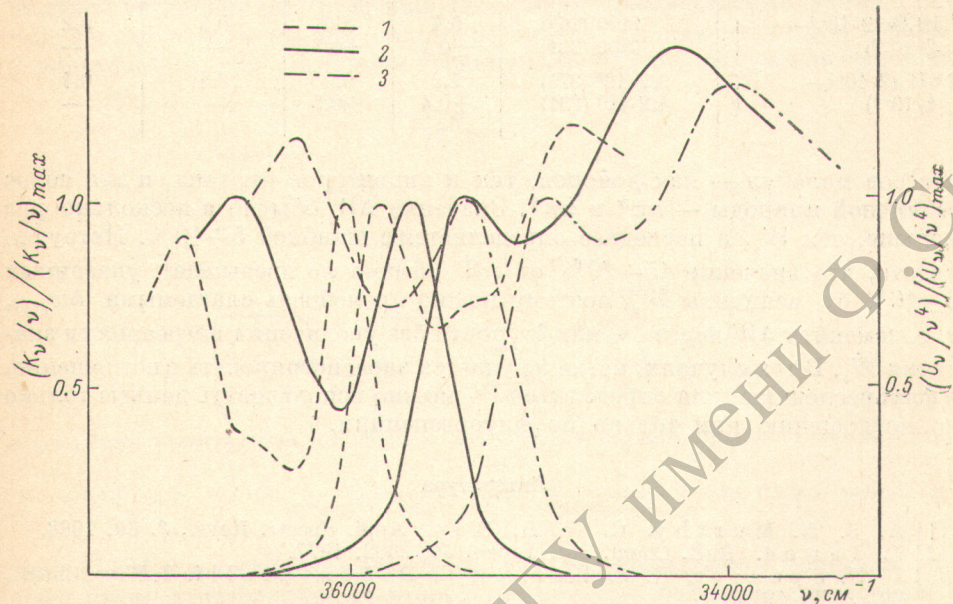
Е. Л. Трубина, Т. Г. Мейстер и В. П. Клиндухов

Изучению термодинамических характеристик комплексов фенола в основном электронном состоянии с различными акцепторами протона посвящено значительное число работ [1-5]. В настоящей работе получены значения энталпий межмолекулярной водородной связи (МВС) комплексов, в которых одним из партнеров является фенол в основном ($|\Delta H| \equiv W_g$) и первом синглетном электронном возбужденном ($|\Delta H^*| \equiv W_e$) состояниях. Напомним, что в [6] была предложена методика определения W_e по сдвигу электронных полос поглощения и флуоресценции с использованием четырехуровневой схемы. Согласно [6], сдвиг $\delta\nu_i$ частоты инверсии спектров поглощения и флуоресценции исследуемой молекулы при образовании МВС численно равен изменению энталпии при электронном возбуждении: $\delta\nu_i = \Delta H \equiv W_g - W_e$; отсюда определяется искомая величина W_e .

Мы использовали в качестве акцепторов протона ацетонитрил, тетрагидрофуран (ТГФ), диметилсульфоксид (ДМСО) и гексаметилтриамид фосфорной кислоты (гексаметапол, ГМП). Растворителем служил пентан. Для определения W_e по методике [6] необходимо знание величины W_g . В литературе приводятся значения W_g энталпии МВС комплексов фенола с использованными нами акцепторами протона, но величины, полученные разными авторами, плохо согласуются между собой. Так, для системы фенол—ацетонитрил в [5] приведено значение $W_g = 3.2$ ккал./моль, а в [2] — 5.4 ккал./моль; кроме того, значения W_g могут несколько изменяться в зависимости от того, в каком растворителе находится комплекс [7]. Поэтому мы определяли W_g сами по температурной зависимости константы равновесия K_p реакции образования МВС. Величина K_p находилась для пяти температур из УФ спектров поглощения по обычной методике [8]. При каждой температуре записывался спектр раствора фенола с пятью различными концентрациями акцептора протона. Температурный интер-

вал (273—231 К) и концентрация фенола (10^{-4} моль/л) выбирались таким образом, чтобы молекулы фенола не были самоассоциированы [9].

На рисунке приведены полученные нами спектры поглощения и флуоресценции растворов в пентане свободного фенола и комплексов состава 1 : 1 фенол—акetonитрил, фенол—ГМП. В эксперименте трудно создать такие условия, чтобы поглощение определялось только комплексами 1 : 1, так как при тех концентрациях акцептора, когда в спектре поглощения уже не проявляется полоса свободных молекул, полосы комплекса испытывают дополнительные изменения — сдвиг и уширение [10]. Поэтому спектры поглощения комплексов, приведенные на рисунке, вычислялись нами из наблюдаемых,



Нормированные по 0—0 вибронной компоненте спектры поглощения и флуоресценции раствора в пентане при 231 К фенола (1) и комплексов 1 : 1 фенол—акetonитрил (2), фенол—ГМП (3).

Концентрации (моль/л): для поглощения — $[PhOH] = 1 \cdot 10^{-4}$, акetonитрил и ГМП — в значительном избытке; для флуоресценции $[PhOH] = 0.25 \cdot 10^{-4}$, $[CH_3CN] = 5.7 \cdot 10^{-2}$, $[GMP] = 1.6 \cdot 10^{-1}$.

с использованием значения K_p для данной температуры. За спектры флуоресценции комплекса принимались спектры, зарегистрированные при таких концентрациях акцептора, когда испускание свободных молекул фенола уже отсутствует, а полоса комплекса еще не испытывает заметных дополнительных изменений. Приведенные на рисунке спектры флуоресценции комплексов зарегистрированы именно в таких условиях.

Из спектров типа, приведенных на рисунке, были определены сдвиги частоты инверсии $\delta\nu_i$, а также 0—0 вибронных компонент полос поглощения ($\delta\nu_a$) и флуоресценции ($\delta\nu_f$) при образовании МВС. Сдвиги $\delta\nu_a$, $\delta\nu_f$ зависят не только от величины ΔW , но и от изменений франк-кондоновских (ФК) слагаемых $\Delta w_{e(g)}$. Из данных по сдвигам были вычислены [6] значения ΔW и $\Delta w_{e(g)}$. Полученные результаты сведены в таблицу.

Определение значений $\Delta w_{e(g)}$ представляет самостоятельный интерес, Дело в том, что оценить даже порядок величины $\Delta w_{e(g)}$ из теоретических соображений пока, по-видимому, невозможно, а среди экспериментальных работ встречаются самые разнообразные мнения по этому поводу. Результаты настоящей работы вместе с полученными ранее в нашей лаборатории данными [11] показывают, что, как правило, значение $\Delta w_{e(g)}$ не превосходит 15–20 % от общей величины сдвига вибронной компоненты полосы поглощения $\delta\nu_a$ или флуоресценции $\delta\nu_f$. Эта оценка справедлива для различных

Акцептор протона (интервал концен- траций, моль/л)	K_p , л/моль (T , К)	Энталпии, ккал./моль		Изменения ФК слагаемых, ккал./моль, ± 0.2	
		W_g	W_e	$\Delta\omega_g$	$\Delta\omega_e$
Ацетонитрил $(10^{-3}-10^{-2})$	12.4 (273)	4.8	5.9	0.2	0.15
	67 (231)	± 0.3	± 0.4	—	—
ТГФ $(4 \cdot 10^{-3}-$ $3 \cdot 10^{-2})$	50 (273)	5.0	6.4	0.3	0.15
	260 (231)	± 0.2	± 0.3	—	—
ДМСО $(2 \cdot 10^{-4}-$ $2 \cdot 10^{-3})$	1100 (263)	6.4	8.0	0.5	0.2
	4800 (231)	± 0.2	± 0.3	—	—
ГМП (2·10 ⁻⁵ — 4·10 ⁻⁴)	$3.2 \cdot 10^4$ (273)	7.7	9.9	0.4	0.4
	$4.2 \cdot 10^5$ (231)	± 0.4	± 0.5	—	—

классов молекул — как доноров, так и акцепторов протона, и для полос различной природы — $n\pi^*$ и $\pi\pi^*$. Значение ΔW обычно в несколько раз меньше, чем W_g , а последнее определяется с ошибкой 5–10 %. Нетрудно видеть, что значение 15–20 % от ΔW обычно не превышает указанных 5–10 % от величины W_g , поэтому можно пренебречь слагаемыми $\Delta\omega_{e(g)}$, т. е. заменить ΔW через $\delta\nu_a$ или $\delta\nu_f$ почти без увеличения погрешности значения W_e . В тех случаях, когда не удается зарегистрировать и поглощение, и флуоресценцию, для определения W_e можно использовать данные только по поглощению или только по флуоресценции.

Литература

- [1] A. S. N. Murthy, C. N. R. Rao. Appl. Spectr. Revs., 2, 69, 1968.
- [2] J. Jawed. Bull. Chem. Soc. Japan, 50, 2602, 1977.
- [3] J. N. Spencer, R. S. Hargreaves, C. D. Penturelli. J. Phys. Chem., 79, 2488, 1975.
- [4] M. Remko. Adv. Molec. Relax. Proc., 14, 37, 1979.
- [5] M. D. Josten, R. S. Drago. J. Am. Chem. Soc., 84, 2696, 1962.
- [6] Т. Г. Мейстер, Г. Я. Зеликина, В. П. Клиндуков. Опт. и спектр., 36, 668, 1974.
- [7] И. С. Перецыгин, А. М. Афанасьев. Ж. прикл. спектр., 30, 676, 1979.
- [8] Ф. Россотти, Х. Россотти. Определение констант неустойчивости и других констант равновесия в растворах. «Мир», М., 1965, с. 324.
- [9] G. Nemethy, A. Ray. J. Phys. Chem., 77, 64, 1973.
- [10] В. П. Клиндуков, Т. Г. Мейстер. В сб.: Молекулярная спектроскопия, вып. 4, с. 12. Изд. ЛГУ, 1977.
- [11] Т. Г. Мейстер, В. П. Клиндуков. Adv. Molec. Relax. Proc., 13, 107, 1978.

Поступило в Редакцию 22 мая 1980 г.

УДК 621.373 : 535

ПРЕОБРАЗОВАНИЕ ЧАСТОТЫ ИЗЛУЧЕНИЯ НЕОДИМОВОГО ЛАЗЕРА В ВИДИМУЮ ОБЛАСТЬ СПЕКТРА В ПАРАХ РУБИДИЯ

B. Г. Архипкин, Н. П. Макаров, A. K. Попов,
B. P. Тимофеев и B. Ш. Эпштейн

В работах [1, 2] сообщалось о преобразовании частоты излучения неодимового лазера на гранате с $\lambda=1.06$ мкм в синюю область спектра 420 нм с коэффициентом преобразования (КП) по мощности $\eta_p \simeq 10^{-6}\%$ на основе резонансного четырехфотонного параметрического процесса $\nu_s = 2\nu_1 - \nu_3$